

埼玉大学 工学部 学生員 ○西村達也
 正員 池田駿介
 正員 長枝 隆

1. 考え方

河道において、側斜面上の砂の移動を研究することは、横断河床形状を決定する上で、重要な課題である。一般に、横断面内において、河道中央部より巻き上がり、た砂が、拡散により側岸部に運ばれ、そこで沈降し、その後、斜面を転がり落ちるという一連の動きが見られる。そして、この横断面内では、次の二つの関係が保たれていく。一つは、拡散による浮遊砂の連続式であり、もう一つは、横方向へ移動する浮遊砂量と掃流砂量との割合式である。これらを式に表すと次のようになる。

$$-\epsilon_x \frac{\partial^2 C}{\partial y^2} = \epsilon_y \frac{\partial^2 C}{\partial y^2} + w_0 \frac{\partial C}{\partial y}, \quad - \int_{y_0}^{y_b} \epsilon_x \frac{\partial C}{\partial y} dy = g_{BL} \quad \dots \dots \dots \quad (1)$$

ここで、 ϵ_x = 横方向の拡散係数、 ϵ_y = 鉛直方向の拡散係数、 w_0 = 沈降速度、 g_{BL} = 横方向の掃流砂量、 C = 浮遊砂濃度。そして、この二式を建立させることによって、浮遊砂が支配的な河道の平衡状態における河床形状が求まるわけである。そこで、本研究では、この河床形状を求めるのに必要な、横方向および鉛直方向の浮遊砂の拡散係数を求めようとするものである。

2. 実験装置及び方法

実験は、長さ 15m、幅 50cm の開水路に図-1 のように、板を斜めに置いて側斜面とした。砂は平均粒径 0.17mm の珪砂を用いて、水路の水平部分に砂を約 1cm の厚さに敷き初割の砂河床とした。実験方法として、まず、流量、勾配、下流域を変化させることによって、半流状態を作り、花壇分布をマーマー及びピト管を用いて測定した。次に、濃度測定には、外径 4mm、内径 2.8mm のサイフォンを使用し、これを断面内に 22 本配列し採取した。横断方向の浮遊砂の拡散を見るために、水路の最上流域の斜面内に長さ 1m、幅 50cm、厚さ 5mm の仕切り板を流れに平行に鉛直にして、その板の下流域から 50cm、1m の地点で濃度分布を測定した。横方向の掃流砂量については、斜面内のある一点に砂を落とさせ、水路の真上から写真を撮り、撮影写真から流れ方向と砂の移動方向との角度を求めた。そして、実験は次の 3 つの場合で行った。

水深 H (cm) 水面勾配 流量 (l/sec)

Run 1	4.10	1/566	3.38
Run 2	4.47	1/414	4.69
Run 3	4.69	1/315	5.75

3. 実験結果及び考察

図-2 は Run 1 の流速分布図である。図-3 は、求められた等流速線に垂直に交わるよう描いた直交線群を表したものである。

そして、求めた直交線群の間の面積 dA を、プランメーターを用いて求め、この求めた面積と水深から斜面に沿って求めた距離 dy を用いて求めた摩擦速度 ($U_s = \sqrt{gH} dy/dA$)、および斜面に垂直に測った水深 H を用いて求めた摩擦速度 ($U_s = \sqrt{gH} y_0$) をもとに右岸 (図-1) カラの距離との関係を表わしたもののが図-4 である。この図を見ると、水平底面の部分では多少の誤差が見られるが、本研

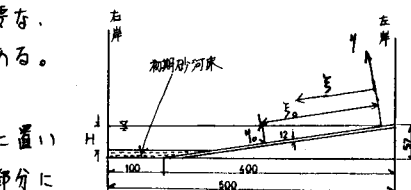


図-1 横断面図 (単位 mm)

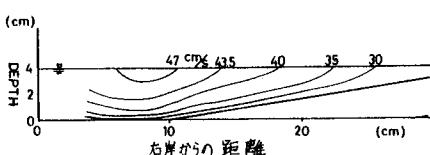


図-2 横断面内流速分布

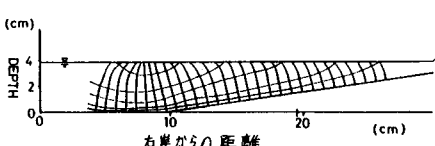


図-3 等流速線とその直交曲線群

見て問題としている斜面内ではほとんど差がないので、以後、摩擦速度は簡単のために斜面に垂直に測定して求めた水深を用いて求めた摩擦速度を用いることにする。

図-5, 6は、Run 1の条件で、右岸から12.5 cm のところに仕切り板を立て、板の下流端から50 cm, 1 m の地点で測定した濃度分布図を示したものである。そして、求められた流速分布図、濃度分布図を用いて、乱流拡散の基礎方程式

$$E_3 = \left[\int_{0}^{y_0} \int_{0}^{x_{\text{wall}}} u \frac{\partial C}{\partial x} dy_3 dx + w_0 \sin \alpha \int_{0}^{y_0} \left| C(x_0, y) - C(\frac{y}{\tan \alpha}, y) \right| dy \right] + \int_{0}^{y_0} E_3 \left(\frac{y}{\tan \alpha} \right) \frac{\partial C}{\partial y} \times \left[\int_{0}^{y_0} \frac{\partial C}{\partial y} dy_3 \right]^{-1} \quad \dots \dots (2)$$

$$E_4 = \left[\int_{0}^{y_0} \int_{0}^{x_{\text{wall}}} u^2 \frac{\partial C}{\partial x} dy_3 dx + w_0 \sin \alpha \int_{0}^{y_0} \left| \frac{\partial C}{\partial y} \right| dy - w_0 \cos \alpha \int_{0}^{y_0} \frac{\partial C}{\partial y} dy_3 \right] - \int_{0}^{y_0} \left| \frac{\partial C}{\partial y} \right|^2 dy_3 + \int_{0}^{y_0} E_4 \left| \frac{\partial C}{\partial y} \right| dy_3 \times \left[\int_{0}^{y_0} \frac{\partial C}{\partial y} dy_3 \right]^{-1} \quad \dots \dots (3)$$

ここで、 E_3, E_4 = 横方向および船直方向の拡散係数、 y = 流れ方向
 u = 流れ方向の速度、 α = 斜面の角度、 y_0, x_0 = 図-1 参照 カラ。

E_3, E_4 を求め、右岸からの距離との関係を示したのが図-7, 8である。図-7において実線は、求めた E_3 を y_0 で割ったものである
いわゆる補正係数 C_1 を掛けて表したものである
($E_3 = C_1 u_0 y_0$)。また、図-8より E_4 はほぼ船直方向に一定と見なすことができる。

図-9は、Run 1の条件で求めた、斜面を転がり落ちる角度 $\tan \delta$ と右岸からの距離との関係を示したものである。 $\tan \delta$ については、池田・Parkerの解析によつて

$$\tan \delta = \frac{H R M}{\mu} \sqrt{\frac{T_{\text{sc}}}{T_{\text{fr}}}} \tan \alpha \quad \dots \dots (4)$$

ここで、 μ = 駆動摩擦係数、 r = 接力係数と抗力係数との比。

が得られていく。二の理論結果とわれわれの実験結果とを比較すると、ほぼ似た傾向であることがわかったので、再び補正係数 C_2 ($\tan \delta = C_2 \frac{H R M}{\mu} \sqrt{\frac{T_{\text{sc}}}{T_{\text{fr}}}} \tan \alpha$) を導入した。それが図-10の中で示されている実線である。また、二の補正係数は約0.4程度にあるといふことがわかった。これは式の中の r や α の見積りの誤差によるものと考えられる。

4. 結論

(1). 横方向の拡散係数の実測値は $E_3 \propto u_0 y_0$ を示している。

(2). 斜面を転がる砂の流れ方向との角度の実測値は $\tan \delta \propto \frac{H R M}{\mu} \sqrt{\frac{T_{\text{sc}}}{T_{\text{fr}}}} \tan \alpha$ を示している。

参考文献 (1) G. Parker; J Fluid Mech, Vol 89, pp 109-125 1978

(2) S. Ikeda et al; Proc ASCE, Vol 102, No HY 9 1976

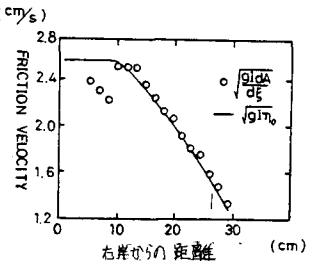


図-4 摩擦速度の横断方向分布

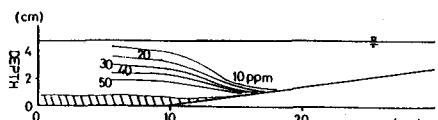


図-5 濃度分布図 (測定点 50 cm)

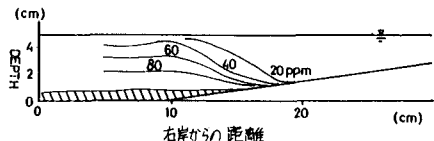


図-6 濃度分布図 (測定点 1 m)

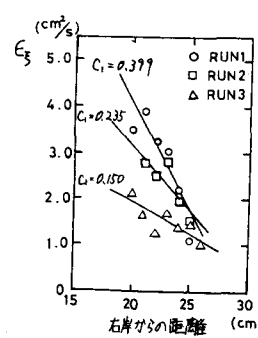


図-7 横方向の拡散係数

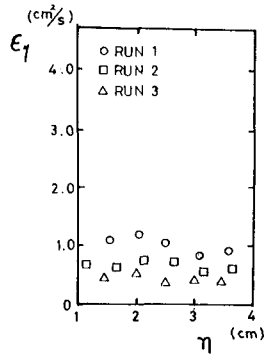


図-8 船直方向の拡散係数

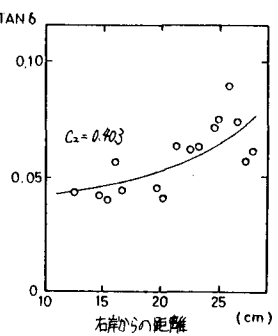


図-9 斜面の滑流域の傾斜角